

ارائه روشی بهبود یافته برای نهان نگاری تصویر مبتنی بر ویژگی‌های کدهای خطی

علی نورآذر^۱، زین‌العابدین نوروزی^{۲*}، مهدی میر^۳

۱- کارشناسی ارشد، ۲- استادیار، دانشگاه جامع امام حسین^(ع) ۳- کارشناس ارشد دانشگاه فردوسی مشهد

(دریافت: ۹۵/۱۱/۱۹، پذیرش: ۹۶/۰۵/۰۱)

چکیده

نهان نگاری یکی از حوزه‌های پر کاربرد مخفی سازی اطلاعات است که به جاسازی غیر محسوس پیام محرمانه داخل یک پوشانه می پردازد. در این مقاله یک روش بهبود یافته برای جاسازی پیام محرمانه داخل پوشانه تصویر در حوزه مکان، بر اساس نظریه کدگذاری معرفی می کنیم، به طوری که فرستنده پیام محرمانه را با توجه به ماتریس کنترل مشابهت (H) کد توافقی با گیرنده، در پوشانه با کمترین تغییر جاسازی نموده و آن را برای گیرنده ارسال می کند. حال گیرنده تنها با همان ماتریس توافقی به راحتی می تواند پیام را از پوشانه استخراج کند. در این روش جدید، ضمن برخورداری از مزایای حوزه مکان و تشخیص و تصحیح خطای رشته بیت دریافتی توسط گیرنده، می توان مقاومت را بین ۹۴٪ الی ۱۰۰٪، شفافیت (PSNR) را تا ۷۱/۸۴٪ و مشابهت (SSIM) را تا ۹۹/۹۹۹۹٪ افزایش داد.

واژه‌های کلیدی: نهان نگاری، پوشانه تصویری، کد خطی، ماتریس کنترل مشابهت.

۱- مقدمه

پیکسل [۸] و غیره اشاره نمود. این گونه روش‌ها اگرچه نسبت به سیستم بینایی انسان (HVS^v) کارایی خوبی را از خود به نمایش گذاشته‌اند، اما عملکرد ضعیف آن‌ها در مواجهه با نهان‌کاوها سبب ابداع حوزه تبدیل گردید. در نهان نگاری حوزه فرکانس، ابتدا از پوشانه، تبدیلی مانند (DCT^h) گرفته می‌شود، سپس پیام در این ضرایب تبدیل شده گنجانده می‌شود (پیام محرمانه، در داخل فضای تبدیل سیگنال پوشش جاسازی می‌شود) [۱۰-۹ و ۲۵]. از جمله الگوریتم‌هایی که برای درج داده‌های محرمانه از ضرایب حاصل از تبدیل DCT استفاده می‌نمایند، می‌توان به روش‌های JSteg [۱۱]، F5 [۱۲] و OutGuess [۱۳] اشاره نمود.

در این مقاله روش جدیدی برای نهان نگاری تصویر در حوزه مکان بر اساس نظریه کدگذاری جهت جاسازی پیام معرفی می‌شود تا ضمن برخورداری از مزایای حوزه مکان، می‌توان مقاومت را تا حد چشم‌گیری افزایش داد. در ضمن، برای ارزیابی روش پیشنهادی از دو معیار^۹ PSNR و^{۱۰} SSIM و برای سنجش امنیت از نهان‌کاو (spam, srmg, srm) استفاده شده است که نتایج حاصل نشان‌دهنده بهبود یافتن مقاومت و امنیت نهان نگاری در حوزه مکان می‌باشد. مقاله مشتمل بر چهار بخش می‌باشد، در

حوزه نهان نگاری یکی از جدیدترین حوزه‌ها برای بالابردن حفاظت و امنیت اطلاعات است. نهان نگاری^۱ چگونگی جاسازی اطلاعات داخل یک پوشانه^۲ می‌باشد. هدف نهان نگاری پنهان کردن خود رابطه است و در این خصوص از پوشانه‌هایی مانند تصویر، صوت، ویدئو و غیره جهت درج اطلاعات استفاده می‌گردد. تاکنون الگوریتم‌های گوناگونی برای نهان نگاری اطلاعات ارائه شده است. عموماً نهان نگاری در دو حوزه مکان و تبدیل انجام می‌شود [۱-۲].

حوزه مکان شامل آن دسته از الگوریتم‌هایی می‌شود که بیت‌های پیام بین بیت‌های میزبان جاسازی می‌شوند [۳]. به عنوان مثال، در روش جاگذاری^۳ LSB بیت‌های پیام در کم‌ارزش‌ترین بیت هر پیکسل گنجانده می‌شوند [۴-۵]. برای نهان نگاری در این حوزه می‌توان به روش‌های معکوس در بیت کم‌ارزش^۴ LSBF [۶]، تطبیقی بر اساس اغتشاش جمع‌شونده^۵ LSBM [۷] و روش‌های PVD^۶ مبتنی بر اختلاف مقدار شدت

* رایانامه نویسنده مسئول: znorozi@ihu.ac.ir

6 - pixel value differencing
7- Hhuman Visual System
8- Discrete Cosine Transform
9- Peak Signal Noise Ratio
10- Structural Similarity Index Measure

1- Steganography
2- Cover
3- least significant bit
4- least significant bit flipping
5 -LSB maching

بخش دوم به معرفی روش نهان نگاری تصویر با استفاده از ساختار کدگذاری و براساس ماتریس کنترل مشابهت پرداخته می شود و به منظور جبران محدودیت های این روش و بهینه نمودن آن، روش پیشنهادی را در بخش سوم بیان نموده و در بخش چهارم به شبیه سازی روش پیشنهادی براساس بانک تصاویر مختلف پرداخته و نتایج حاصل از آن را براساس معیارهای ذکر شده ارزیابی می نماییم. در ادامه، نتیجه گیری روش پیشنهادی در بخش پنجم آمده است.

۲- نهان نگاری تصویر با استفاده از کدهای خطی (روش جاسازی ماتریس)

فرض کنیم k و n دو عدد طبیعی باشند که $k \leq n$ و V, W دو فضای برداری به ترتیب با ابعاد n, k روی میدان $GF(q)$ باشند که در آن q قوایی از اعداد اول است، در این صورت، هر تبدیل یک به یک $T: V \rightarrow W$ را یک کد $C := [n, k, d]$ با طول n ، بعد k و کمترین فاصله d روی میدان $GF(q)$ می نامیم. اگر T خطی باشد آن گاه کد را کد خطی می نامند [۱۴]. حال با توجه به مطالب بیان شده، مهم ترین نقطه ضعف روش های حوزه مکان با وجود ظرفیت بالا، مقاومت و امنیت پایین در برابر حملات و نهان کاوها می باشند. یافتن راه هایی برای افزایش مقاومت و امنیت تصویر حاوی اطلاعات پنهان در حوزه مکان، ضروری است. یکی از این راه حل ها استفاده از نظریه کدگذاری می باشد.

در استفاده از نظریه کدگذاری جهت جاسازی اطلاعات، کدهای خطی به عنوان پایه اصلی قلمداد شده و می توان از ویژگی های آن ها در نهان نگاری، تحت روش جاسازی ماتریس، نام برد [۱۷].

برای کارایی مطلوب این روش بایستی از کدهای مناسب استفاده نمود. توجه داشته باشید که در میان همه کدهای با اندازه و بعد ثابت، کدی مناسب محسوب می شود که کمترین تغییرات را نسبت به بیشترین ظرفیت جاسازی، داشته باشند. کدهای بهینه خطی متشکل از کدهای دو و سه بعدی بر روی $GF(2)$ و $GF(3)$ که در روش کدگذاری مشخصه استفاده می شود، می توانند کد مناسب برای نهان نگاری ماتریس تلقی شوند.

۲-۱- استفاده از کدهای خطی در نهان نگاری

یکی از ویژگی های اصلی نهان نگاری می تواند مقاومت آن در مقابل حمله آماری یا به عبارت دیگر آشکارسازی آماری باشد. ما برای تحقق این هدف از جایگذاری شبه تصادفی بر مبنای نظریه

کدگذاری استفاده نموده، به طوری که روند جاسازی^۱ کمترین تغییرات را داشته و از لحاظ آماری مقاومت بالایی داشته و خواص اصلی را حفظ نماید [۱۷]. بر همین اساس، می توان از روش نظریه کدگذاری در نهان نگاری استفاده نمود. به طوری که فرستنده پیام محرمانه را با توجه به ماتریس کنترل مشابهت (H^T) توافقی، به عنوان یک مشخصه از پوشانه دریافت نموده و پیام را با استفاده از ماتریس کنترل مشابهت، داخل پوشانه ای (مانند تصویر) ذخیره نموده، سپس دریافت کننده با استفاده از همان ماتریس، پیام جاسازی شده توسط فرستنده را از نهانه بازگشایی نموده و تشخیص و تصحیح خطا را روی آن اعمال می دارد [۱۶-۱۵].

در چند سال اخیر، روش های مختلفی بر این اساس در مقالات متعددی ارائه شده است، ولی اکثر این روش ها دارای معایب متنوعی می باشند. مواردی از این معایب عبارت اند از:

- برخی از روش ها تنها مربوط به کدهای خطی و کاربرد آن ها در نشانه گذاری^۲ می باشند [۱۸].
- در موارد متعددی از یک فرمول جاسازی واحد و مشخص برای داده های مختلف استفاده نمی کنند و به صورت شرطی بیان شده اند (گزاره به شرطی درست است که پارامتر x با خواص مورد نظر را بیاوریم) [۱۶-۱۵].
- $\text{Finde}(\delta \in F^m_2) \text{ For } (H^T(E+\delta)=M) \rightarrow \text{Emb and Exc is OK}$
- در موارد خاصی در حد تئوری بوده و هم چنین، در یک بانک داده با فرمت های مختلف فاقد پیاده سازی بوده و یا شبیه سازی آن ها پیچیده می باشد [۱۹].
- بعضی از روش های ارائه شده، بهینه نبوده و بعضاً نتایج غیرمطلوبی تحت عنوان یک روش نهان نگاری دارند [۲۰-۲۱].
- در برخی موارد، ارزیابی مناسبی نسبت به روش بیان شده با سایر روش های این حوزه، با یک بانک مشترک، صورت نگرفته است [۱۶-۱۵ و ۲۱-۱۸].

فرمول جاسازی و بازیابی اطلاعات را که ارائه و در روش پیشنهادی استفاده می نماییم (رابطه-۲)، شکل بهبود یافته [۱۷] است که دارای گزاره جاسازی و بازیابی مشخص برای داده های مختلف بوده و به صورت کاربردی برای انواع کدها (خطی و غیرخطی) قابل پیاده سازی می باشد. با توجه به ایده مورد نظر و شبیه سازی انجام شده، به این نتیجه رسیدیم که روش ارائه شده دارای عملکرد مناسبی از نظر پارامترهای ارزیابی و نهان کاوها، نسبت به سایر روش های موجود در این حوزه می باشد.

1- Embedding
2- Parity Check
3- Watermarking

با این روش، طرح نهان‌نگاری مبتنی بر نظریه کدگذاری امکان‌پذیر شد. لازم به ذکر است با این روش m بیت پیام داخل n بیت پوشانه جاسازی می‌گردد، ولی نکته‌ای که اهمیت دارد، استفاده از کدهایی می‌باشد که کم‌ترین تغییر را نسبت به بیش‌ترین ظرفیت داشته باشند که اصطلاحاً کدهای بهینه نامیده می‌شوند. از جمله کدهای تصادفی که ظرفیت جاسازی بالا و کم‌ترین خرابی را دارند. بدین منظور، بسته به نوع کدی که استفاده می‌نماییم، برای طرح خود می‌توان از سه مؤلفه $\text{cov}(\rho, N, n)$ استفاده نمود که در آن جاسازی n بیت در رشته N بیتی پوشانه با حداکثر تغییرات ρ بیت صورت می‌گیرد. بهتر است برای کارایی بالا از کدهایی استفاده نماییم که در آن کران ρ حداقل باشد [۱۷].

به‌عنوان مثال، فرض کنید فرستنده برای نهان‌نگاری پیام $M=110$ از پوشانه تصویری استفاده می‌کند که رشته بیت استخراجی $X=1110000$ از پیکسل‌های تصویر پوشانه استخراج شده و ماتریس H کد خطی همینگ $C=[7,4,3]$ را به‌صورت ذیل با طرف گیرنده توافق می‌کند. کد مورد استفاده ما در این مثال یک طرح $\text{cov}(1,7,3)$ می‌باشد.

$$\text{Emb: } H = \begin{bmatrix} 1110100 \\ 1101010 \\ 1011001 \end{bmatrix} \rightarrow \begin{bmatrix} 1110100 \\ 1101010 \\ 1011001 \end{bmatrix} \cdot \begin{bmatrix} 1 \\ 1 \\ 0 \\ 0 \\ 0 \\ 0 \\ 0 \end{bmatrix} = \begin{bmatrix} 1 \\ 0 \\ 0 \end{bmatrix} \oplus \begin{bmatrix} 1 \\ 1 \\ 0 \end{bmatrix} = \begin{bmatrix} 0 \\ 1 \\ 0 \end{bmatrix} \rightarrow X' = 1110010$$

$$\text{Exc: } H = \begin{bmatrix} 1110100 \\ 1101010 \\ 1011001 \end{bmatrix} \rightarrow \begin{bmatrix} 1110100 \\ 1101010 \\ 1011001 \end{bmatrix} \cdot \begin{bmatrix} 1 \\ 1 \\ 0 \\ 0 \\ 0 \\ 1 \\ 0 \end{bmatrix} = \begin{bmatrix} 1 \\ 1 \\ 0 \end{bmatrix} \rightarrow M = 110$$

روش فوق علاوه بر کدهای خطی شامل کدهای غیرخطی نیز می‌شود. به‌عنوان مثال، ماتریس کنترل مشابهت ذیل مربوط به کد کانولوشن نوع B_2 بهینه می‌باشد که می‌تواند بین فرستنده و گیرنده توافق شده باشد. در این مثال، فرستنده از این ماتریس برای جاسازی هر پیام سه بیتی ($M=100$) در شش بیت پوشانه استخراج شده از تصویر ($X=111000$) استفاده می‌نماید ($\text{cov}(1,6,3)$) و گیرنده بر همین اساس به راحتی می‌تواند به پیام درج شده در پوشانه برسد.

در این مقاله تمام کدهایی که در نظر گرفته شده‌اند در میدان F_2 می‌باشند. فرض کنید $C \subseteq F_2^n$ کدی باشد که با ماتریس کنترل مشابهت H تعریف شود، آن‌گاه میانگین وزن کلمه کد همه مجموعه‌های کد C را با $R_n(C)$ نشان داده و برابر با مقدار میانگین فاصله از محور F_2^n تا C می‌باشد و می‌توان آن را به‌صورت مفهوم کلاسیک شعاع پوششی C در نظر گرفت [۱۷].

فرض کنیم پوشانه، یک فایل دیجیتالی باشد آن‌گاه اطلاعات محرمانه در بیت‌های پوشانه دیجیتال درج می‌شود. برای ارائه توضیحات ملموس‌تر در این مورد، یک تصویر دیجیتال را به‌عنوان پوشانه در نظر می‌گیریم. فرستنده ابتدا یک رشته از بیت‌های داده، (مانند رشته کم‌ارزش‌ترین بیت‌های پیکسل‌ها) از روی تصویر استخراج می‌کند. اصلاح و تغییر برخی از این بیت‌ها متناظر با پیامی هستند که قصد جاسازی آن را در پوشانه داریم. سپس با توجه به تغییرات ایجاد شده، چون پیام محرمانه و پوشانه دیجیتال بوده، پیام‌های محرمانه با روش‌های مختلفی مثل روش جاسازی ماتریس، در گیرنده قابل بازیابی هستند و می‌توان آن را به‌صورت بردارهای دودویی در نظر گرفت.

اگر $M \in F_2^r$ مجموعه متناهی از پیام‌ها و $x \in F_2^n$ رشته بیت استخراج شده از پیکسل‌های تصویر پوشانه که $n \geq r$ باشد، معمولاً یک (n, r) طرح نهان‌نگاری S را به‌صورت یک جفت از توابع بازیابی و جاسازی اطلاعات به‌صورت $S = (\text{Emb}, \text{Exc})$ با استفاده از نظریه کدگذاری، طبق رابطه (۱) قابل تعریف می‌باشد.

$$\text{Emb: } F_2^n \times F_2^r \rightarrow F_2^n, \text{ Exc: } F_2^n \rightarrow F_2^r \quad (1)$$

به‌طوری‌که، برای هر $x \in F_2^n$ و $m \in F_2^r$ ، آن‌گاه:

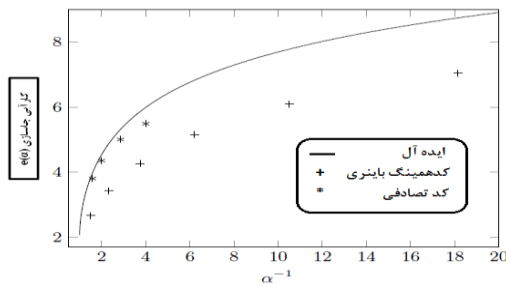
$$\text{Exc}(\text{Emb}(x, m)) = m$$

حال فرض کنیم $X \in F_2^n$ یک دنباله از n بیت استخراج شده از پیکسل‌های شی پوششی مورد نظر باشد و $m \in M = F_2^r$ پیام مورد نظر برای جاسازی در آن باشد. ارسال کننده و دریافت کننده از پیش بر روی ماتریس $H_{r \times n}$ متناسب با کد $C = [n, k, d]$ ، توافق می‌کنند. برای جاسازی پیام محرمانه، فرستنده مقدار (Emb) رابطه (۲) را محاسبه نموده و شماره یک بیت از رشته n بیتی پوشانه که باید تغییر نماید را به‌عنوان خروجی به‌دست می‌آورد (همان n^*). سپس با تغییر یک بیت از رشته بیت پوشانه، X' را برای گیرنده ارسال می‌نماید. دریافت کننده، پیام محرمانه m را با استفاده از رابطه Exc از پوشانه اصلی که تنها یک بیت از n بیت آن تغییر نموده است، استخراج می‌نماید.

$$\text{Emb: } (X, \text{Exc: } H. X^t = M^t \rightarrow M \quad (2)$$

$$M) \rightarrow (H. X') \text{ xor } M^t = n^*, f(X, n^*) \rightarrow X'$$

نمودار (۱): مقایسه کارایی کد همینگ و کد تصادفی



$$H(x) = -x \log_2 x - (1-x) \log_2 (1-x) \quad (۳)$$

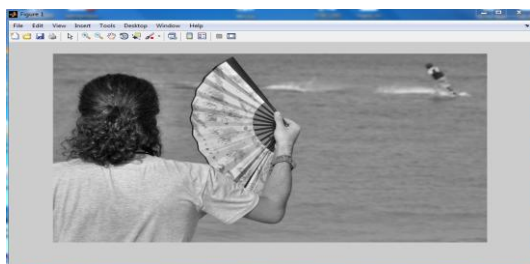
$$e = \frac{an}{R} \leq \frac{\alpha}{H^{-1}(\alpha)} \quad (۴)$$

توجه داریم که $\frac{R\alpha}{n}$ میانگین فاصله نسبی کد بوده و به نوعی هم تعیین‌کننده کارایی جاسازی و شعاع پوششی نسبی نیز می‌باشد. حال اگر کد توافقی در این روش بهینه یا ایده‌آل باشد $(n \rightarrow \infty)$ [۲۴] نمی‌توان از این روش به صورت کاربردی استفاده نمود، چراکه $\frac{R}{n} \rightarrow 0$ و خواهیم داشت، $1 - \frac{k}{n} = 1 - \frac{(n-k)}{n}$ که در این صورت نمی‌توان مشخصه‌ها و یا سرده‌ها را در حالت کلی به دست آورد.

کلیه شبیه‌سازی‌ها و نهان‌نگاری‌ها در این مقاله، برحسب کد همینگ می‌باشد، چرا که این کد در روش جاسازی ماتریس از عملکرد ضعیفی برخوردار است و ما با در نظر گرفتن این کد ضعیف توانسته‌ایم مقاومت و امنیت این روش را تا حد چشم‌گیری بهبود دهیم. در این صورت، می‌توان ادعا نمود که روش‌های پیشنهادی برای سایر کدهای مناسب، عملکرد بهتری از خود نشان خواهد داد.

۲-۲- شبیه‌سازی نهان‌نگاری با استفاده از نظریه کدگذاری (جاسازی ماتریس)

شکل (۱) را با فرمت bmp، به عنوان یک پوشانه پوششی با اندازه ۳۵۸ KB در نظر می‌گیریم. حال روش جاسازی ماتریس معرفی شده را برحسب رابطه (۲) بر روی آن به ازای تمام پیکسل‌های پوشانه با استفاده از نرم‌افزار Matlab براساس ماتریس کنترل مشابهت کد همینگ ذکر شده در مثال اول، شبیه‌سازی می‌نماییم. نتیجه حاصل در شکل (۲) و جدول (۲) آورده شده است.



شکل (۱): تصویر اولیه پوشانه بدون جاسازی

$$\text{Emb: } H = \begin{bmatrix} 001000 \\ 000110 \\ 010101 \end{bmatrix} \rightarrow \begin{bmatrix} 001000 \\ 000110 \\ 010101 \end{bmatrix} \cdot \begin{bmatrix} 1 \\ 1 \\ 0 \\ 0 \\ 0 \\ 0 \\ 1 \end{bmatrix} = \begin{bmatrix} 1 \\ 0 \\ 1 \end{bmatrix} \oplus \begin{bmatrix} 1 \\ 0 \\ 0 \end{bmatrix} =$$

$$\begin{bmatrix} 0 \\ 0 \\ 1 \end{bmatrix} \rightarrow X' = 1110001$$

$$\text{Exc: } H = \begin{bmatrix} 001000 \\ 000110 \\ 010101 \end{bmatrix} \rightarrow \begin{bmatrix} 001000 \\ 000110 \\ 010101 \end{bmatrix} \cdot \begin{bmatrix} 1 \\ 1 \\ 0 \\ 0 \\ 0 \\ 0 \\ 1 \end{bmatrix} = \begin{bmatrix} 1 \\ 0 \\ 0 \end{bmatrix} \rightarrow M = 100$$

در این روش، بسته به کدی که مورد استفاده قرار می‌گیرد، می‌توان از سه پارامتر ذیل در بهبود عملکرد روش پیشنهادی بهره جست [۲۱]:

- ظرفیت نسبی
- نرخ تغییرات
- کارایی

در همین خصوص ما در طرح خود به منظور کسب نتایج مطلوب و بهینه نمودن روش، به دنبال کارایی و در نتیجه به دنبال کاهش شعاع پوششی نسبی یا $\frac{p}{N}$ می‌باشیم [۱۷].

برای مثال‌های بالا، به ترتیب ظرفیت نسبی برابر با $\frac{3}{7}$ و $\frac{3}{6}$ ، نرخ تغییرات $\frac{1}{7}$ و $\frac{1}{6}$ با کارایی مؤثر در هر دو مثال برابر ۳ خواهد بود.

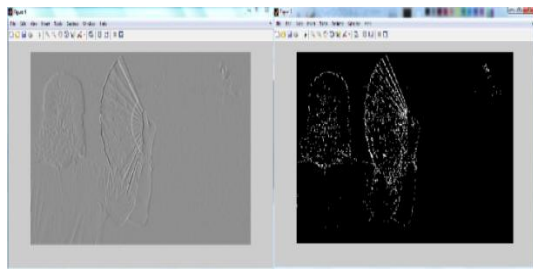
یکی خانواده از کدهای بسیار پرکاربرد، کدهای همینگ هستند. ولی به علت بهینه نبودن این نوع کدها طبق جدول (۱)، جاسازی مناسبی را در اختیار نمی‌گذارند و از ظرفیت نسبی ایده آلی برخوردار نمی‌باشند. این موضوع را به صورت عملی و شبیه‌سازی شده در بخش بعدی نشان خواهیم داد.

جدول (۱): کارایی و ظرفیت نسبی کد همینگ $[2p-1, 2p-1-p]$

بعد همینگ (P)	۱	۲	۳	۴	۵	۶	۷
ظرفیت نسبی (α_p)	۱/۰۰۰	۰/۶۶۷	۰/۴۲۹	۰/۲۶۷	۰/۱۶۱	۰/۰۹۳	۰/۰۵۵
کارایی (ϵ_p)	۲/۰۰	۲/۶۶۷	۳/۴۲۹	۴/۲۶۷	۵/۱۶۱	۶/۰۹۳	۷/۰۵۵

بنابراین، باید به دنبال کدهای بهینه یا تصادفی بود. در نمودار (۱) کارایی کد تصادفی و کد همینگ دودویی را برحسب آن‌ها طبق روابط (۳-۴) نشان داده شده است.

لبه را برای ما مشخص خواهد نمود.



شکل (۳): اجرای الگوریتم کنی بر روی تصویر پوشانه اصلی

با اجرا روش نهان نگاری پیشنهادی بر روی نقاط لبه ای پوشانه اصلی، نتیجه ای طبق شکل (۴) و جدول (۳) حاصل می گردد.

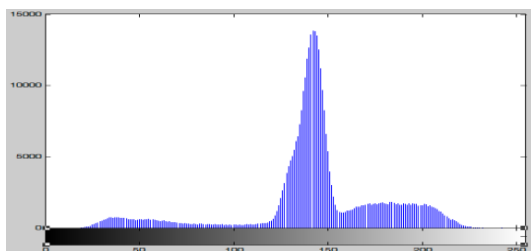


شکل (۴): اجرای روش جاسازی ماتریس بر روی لبه های کنی

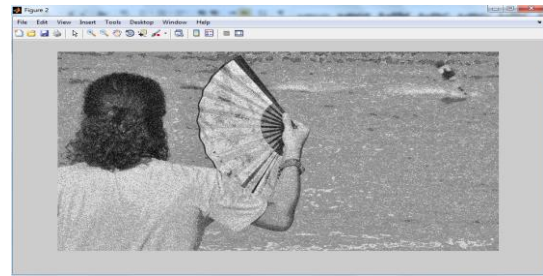
جدول (۳): شبیه سازی روش جاسازی ماتریس در نقاط لبه ای پوشانه

ظرفیت جاسازی	PSNR	SSIM	امنیت
۳ bit * تعداد لبه ها = ۱۳۰ KB	۲۹/۹۴	۰/۹۹۶	متوسط

لازم به ذکر می باشد که با این روش، در هر نقطه لبه ای با عمق ۸ بیتی تصویر خاکستری توانستیم ۳ بیت اطلاعات جاسازی نماییم، اما همان طوری که از جدول (۳) ملاحظه می نمایم امنیت و PSNR این روش به عنوان یک روش نهان نگاری، مطلوب نمی باشد. این امر را با مقایسه نمودار هیستوگرام تصویر پوشانه اصلی (شکل ۱) و تصویر نهان نگاری شده با روش فوق را طبق شکل های ذیل می توان به وضوح مشاهده نمود به طوری که دارای تغییرات محسوسی می باشند.



شکل (۵): نمودار هیستوگرام پوشانه اصلی



شکل (۲): تصویر پوشانه بعد از جاسازی

جدول (۲): شبیه سازی روش جاسازی ماتریس به ازای تمام

پیکسل های پوشانه

ظرفیت جاسازی	PSNR	SSIM	امنیت
۱ MB	۱۹/۹۰	۰/۴۳	پایین

در شکل فوق، مقدار ظرفیت جاسازی خوب می باشد اما میزان تغییرات بالا رفته است. به منظور جلوگیری از این تغییرات بالا می توان این روش را در نقاط لبه^۱ پیاده نمود.

تحقیقات گوناگونی به منظور ارائه راه حل هایی برای یافتن لبه در تصاویر دیجیتال صورت گرفته است. پیکسل های لبه را می توان پیکسل هایی اختیار نمود که در آن ها شدت روشنایی تابع تصویر، تغییرات ناگهانی دارد و لبه ها را می توان مجموعه ای از پیکسل های لبه متصل به هم در نظر گرفت. آشکارسازهای لبه^۲ روش هایی هستند که تغییرات محلی در شدت روشنایی پیکسل ها را تشخیص می دهند [۲۲]. هدف از آشکارسازی لبه، مکان یابی محدوده اشیا در تصویر است و می تواند به عنوان بینایی برای استفاده در آنالیزهای تصاویر و ماشین بینایی^۳ مورد توجه قرار گیرد [۲۳]. کنی یکی از الگوریتم های لبه یابی است که یک سطح آستانه دارد. این آستانه تقاض سطح شدت ها است. هر جا سطح شدت روشنایی کم باشد، لبه یابی ضعیف می شود و هر جا سطح روشنایی زیاد باشد لبه یابی مناسب تر است. زمانی که نیاز به لبه یابی قوی باشد، با در نظر گرفتن شیب ها از الگوریتم کنی استفاده می کنیم. کنی برای اختلاف سطح روشنایی ها، سه سطح آستانه دارد. اگر اختلاف سطح شدت از آستانه اول بیشتر باشد آن سطح به عنوان لبه شناخته می شود، اگر از آستانه دوم کوچک تر باشد لبه ای وجود ندارد و اگر بین این دو مقدار باشد یک لبه ضعیف وجود دارد، یعنی پیوستگی لبه ها را حفظ می کند.

حال اگر الگوریتم لبه یابی کنی را بر روی تصویر پوشانه اصلی (شکل ۱) اجرا نماییم، خروجی آن شکل (۳) خواهد بود که نقاط

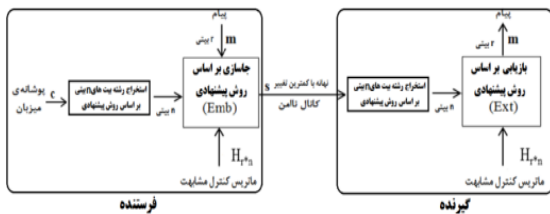
1- Edge
2- Edge detectors
3- Machine vision

0→1) رشته‌های n بیتی پوشانه می‌باشد که نتیجه آن، نهانه خواهد بود (X_i→X'_i).

• رشته n بیتی حاصل (X'_i) را به عنوان LSB متناظر n پیکسل پوشانه در نظر گرفته و آن نهانه را به گیرنده ارسال می‌کنیم.

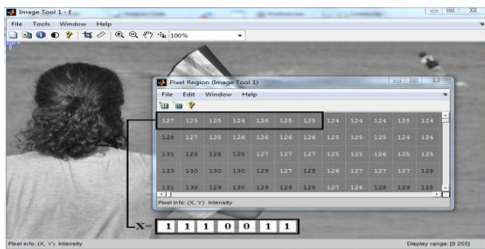
• چون روند خطی بوده (A⊕B=D↔D⊕A=B)، لذا بازیابی پیام برگشت پذیر خواهد بود و گیرنده به راحتی با ضرب ماتریس H در ترانهاده هر رشته n بیتی متشکل از LSB، n پیکسل نهانه دریافتی یا همان X'₁ || X'₂ || ... || X'_t می‌تواند پیام M=m₁ || m₂ || ... || m_t را استخراج کند.

بلوک دیاگرام روش پیشنهادی طبق شکل (۷) می‌باشد.



شکل (۷): بلوک دیاگرام روش پیشنهادی

روش فوق را با یک مثال ساده شرح می‌دهیم. فرض کنید C کد همینگ [7,4,3] با طرح cov(1,7,3) که X های n بیتی را از بیت‌های کم‌ارزش ۷ پیکسل متوالی همانند شکل (۸) تهیه شده، استخراج می‌کنیم.

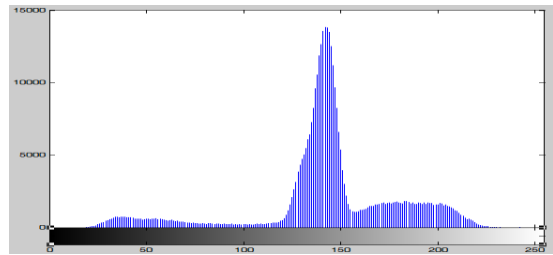


شکل (۸): جاسازی رشته بیت استخراجی از بیت‌های کم‌ارزش ۷ پیکسل پوشانه

در نتیجه، با روش پیشنهادی خواهیم داشت:

$$\text{Emb: } M=1110, X=1110011 \rightarrow \begin{bmatrix} 1110100 \\ 1101010 \\ 1011001 \end{bmatrix} \cdot \begin{bmatrix} 1 \\ 1 \\ 1 \\ 0 \\ 0 \\ 1 \\ 1 \end{bmatrix} = \begin{bmatrix} 1 \\ 1 \\ 1 \end{bmatrix}$$

$$\begin{bmatrix} 1 \\ 1 \\ 1 \end{bmatrix} \oplus \begin{bmatrix} 1 \\ 1 \\ 0 \end{bmatrix} = \begin{bmatrix} 0 \\ 0 \\ 1 \end{bmatrix} \rightarrow X' = 1110010$$



شکل (۶): نمودار هیستوگرام پوشانه نهانه نگاری شده

همان طوری که مشاهده می‌کنیم، نتیجه این روش نهانه نگاری شفافیت بالای آن است که تنها با یک ماتریس کنترل مشابهت مشترک بین فرستنده و گیرنده می‌باشد.

۳- روش پیشنهادی

این مقاله روش ترکیبی را برای بهبود روش جاسازی ماتریس ارائه می‌دهد که از نظر امنیت و سایر پارامترهای ارزیابی نسبت به بقیه روش‌های این حوزه مناسب‌تر بوده و از کارایی بالایی برخوردار می‌باشد. این روش نهانه نگاری ترکیبی پیشنهادی، به منظور افزایش امنیت، با حفظ مشابهت و شفافیت بالا، روش LSBM را در روش جاسازی ماتریس مورد استفاده قرار داده و آنرا به عنوان یک روش نهانه نگاری بهبود یافته مورد توجه قرار می‌دهد. مراحل اجرای روش پیشنهادی طبق ترتیب ذیل می‌باشد:

- ابتدا ماتریس کنترل مشابهت $H_{k \times n}$ به صورت محرمانه، بین فرستنده و گیرنده توافق می‌گردد.
- یک پوشانه با ابعاد $C * R$ را در نظر گرفته که محتویات آن به صورت پیکسلی بوده و نشان دهنده روشنایی است.
- پوشانه انتخاب شده را به صورت n پیکسل، n پیکسل مرتب می‌کنیم و با توجه به این که کم‌ترین تغییرات پیکسل در LSB آن‌ها است، ما LSB آن n پیکسل را در نظر گرفته و رشته‌های n بیتی $X = X_1 || X_2 || \dots || X_t$ را تشکیل می‌دهیم که از پوشانه استخراج شده است.
- پیام را با عمل لایه گذاری^۱ ضربی از k نموده و خواهیم داشت: $M = m_1 || m_2 || \dots || m_t$.
- حالا H را در ترانهاده رشته‌های n بیتی X_i پوشانه ضرب نموده و یک رشته k بیتی به دست می‌آوریم. هر کدام از این حاصل ضرب‌ها را با پیام $|m_i| = k$ جمع (xor) نموده و رشته k بیتی به دست می‌آید.
- این رشته‌های k بیتی حاصل جمع، نشان دهنده ستون i ماتریس H می‌باشد و نشان دهنده تغییر بیت $\lambda_m (0 \rightarrow 1)$ و

نتیجه روش نهان نگاری به صورت جدول (۴) می باشد:

جدول (۴): نتیجه نهان نگاری شکل (۹) با استفاده از روش پیشنهادی

امنیت	SSIM	PSNR	ظرفیت جاسازی
٪۷۵	۰/۹۹۹۶	۵۹/۱۵	۱۵۶ KB

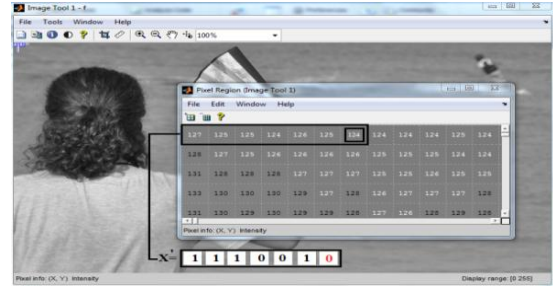
نکته اساسی: به منظور بهبود عملکرد روش پیشنهادی، می توان آن را در نقاط لبه ای اجرا نمود. به عبارت دیگر، استفاده ترکیبی از ۳-۱-۳ بیت از چندبیکسل لبه ای که نتایج عملی آن در بخش ۳-۱-۳ ارائه گردیده است.

جدول (۵): شبیه سازی نهان نگاری روش پیشنهادی و LSB

تصاویر	روش پیشنهادی		LSB	
	SSIM	PSNR	SSIM	PSNR
۱	۰/۹۹۹۳	۵۶/۹۹۳	۰/۹۹۹۴	۵۵/۱۲
۲	۰/۹۹۹۳	۵۷/۱۵۶	۰/۹۹۸۹	۵۵/۱۲
۳	۰/۹۹۹۷	۵۷/۱۲۱	۰/۹۹۹۶	۵۵/۱۳
۴	۰/۹۹۹۸	۵۷/۱۵۸	۰/۹۹۹۶	۵۵/۱۲
۵	۰/۹۹۹۷	۵۷/۱۶۹	۰/۹۹۹۵	۵۵/۱۱
۶	۰/۹۹۹۸	۵۷/۱۶۸	۰/۹۹۹۶	۵۵/۱۱
۷	۰/۹۹۹۷	۵۷/۱۷۰	۰/۹۹۹۵	۵۵/۱۱
۸	۰/۹۹۹۸	۵۷/۱۷۰	۰/۹۹۹۷	۵۵/۱۲
۹	۰/۹۹۹۹	۵۷/۱۶۸	۰/۹۹۹۸	۵۵/۱۱
۱۰	۰/۹۹۹۸	۵۷/۱۷۳	۰/۹۹۹۶	۵۵/۱۱
۱۱	۰/۹۹۹۸	۵۷/۱۵۸	۰/۹۹۹۶	۵۵/۱۱
۱۲	۰/۹۹۹۷	۵۷/۱۶۵	۰/۹۹۹۵	۵۵/۱۱
۱۳	۰/۹۹۹۸	۵۷/۱۷۰	۰/۹۹۹۷	۵۵/۰۸
۱۴	۰/۹۹۹۶	۵۷/۱۶۵	۰/۹۹۹۳	۵۵/۱۱
۱۵	۰/۹۹۹۷	۵۷/۱۷۵	۰/۹۹۹۵	۵۵/۱۴
۱۶	۰/۹۹۹۵	۵۷/۱۷۱	۰/۹۹۹۲	۵۵/۱۰
۱۷	۰/۹۹۹۵	۵۷/۰۸۵	۰/۹۹۹۵	۵۵/۱۴
۱۸	۰/۹۹۹۶	۵۷/۱۷۰	۰/۹۹۹۴	۵۵/۱۱
۱۹	۰/۹۹۹۸	۵۷/۱۶۷	۰/۹۹۹۷	۵۵/۱۲
۲۰	۰/۹۹۹۸	۵۷/۱۶۰	۰/۹۹۹۷	۵۵/۱۳
۲۱	۰/۹۹۹۶	۵۷/۱۶۹	۰/۹۹۹۴	۵۵/۱۳
۲۲	۰/۹۹۹۸	۵۷/۱۵۶	۰/۹۹۹۶	۵۵/۱۰
۲۳	۰/۹۹۹۵	۵۷/۱۷۵	۰/۹۹۹۲	۵۵/۱۳
۲۴	۰/۹۹۹۵	۵۷/۱۷۵	۰/۹۹۹۳	۵۵/۱۱
۲۵	۰/۹۹۹۶	۵۷/۱۶۸	۰/۹۹۹۴	۵۵/۱۲
۲۶	۰/۹۹۹۹	۵۷/۱۶۳	۰/۹۹۹۹	۵۵/۱۱
۲۷	۰/۹۹۹۸	۵۷/۱۷۵	۰/۹۹۹۷	۵۵/۱۲
۲۸	۰/۹۹۹۶	۵۷/۱۵۰	۰/۹۹۹۴	۵۵/۱۴
۲۹	۰/۹۹۹۹	۵۷/۱۸۲	۰/۹۹۹۸	۵۵/۱۱
۳۰	۰/۹۹۹۸	۵۷/۱۵۸	۰/۹۹۹۶	۵۵/۱۳

بنابراین، پوشانه حامل(نهانه)، بعد از جاسازی به صورت شکل

(۹) خواهد شد:



شکل (۹): نهانه حاصل بعد از فرایند جاسازی اطلاعات

حال گیرنده با دریافت نهانه و همچنین با دانستن ماتریس

H، به سادگی می تواند پیام محرمانه را استخراج کند.

$$\text{Exc: } H = \begin{bmatrix} 1110100 \\ 1101010 \\ 1011001 \end{bmatrix} \rightarrow \begin{bmatrix} 1110100 \\ 1101010 \\ 1011001 \end{bmatrix} \cdot \begin{bmatrix} 1 \\ 0 \\ 0 \\ 1 \\ 0 \end{bmatrix} = \begin{bmatrix} 1 \\ 1 \\ 0 \end{bmatrix} \rightarrow M=110$$

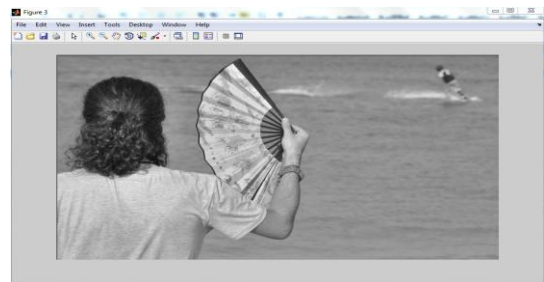
مشاهده می کنیم که با کاهش نسبی ظرفیت، مقاومت

نهان نگاری افزایش می یابد. شکل (۱۰)، تصویر نهان نگاری شده

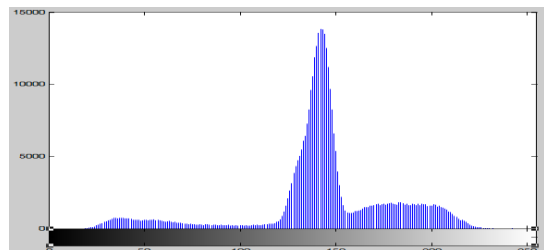
پوشانه اولیه (شکل ۱) می باشد به طوری که در هر ۷ بیت کم ارزش

پوشانه، ۳ بیت اطلاعات جاسازی شده به نحوی که حداکثر یک

بیت از پوشانه اولیه تغییر می نماید.



شکل (۱۰): تصویر نهان نگاری شده با استفاده از روش پیشنهادی



شکل (۱۱): نمودار هیستوگرام شکل نهان نگاری شده با استفاده از روش

پیشنهادی

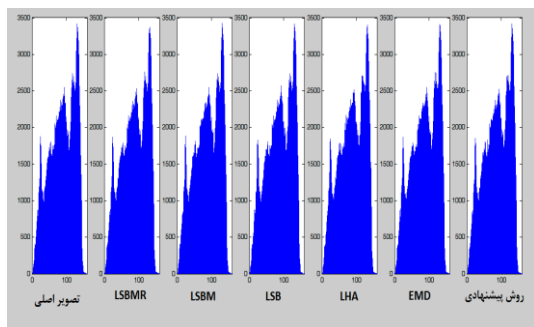
با بررسی نتایج به دست آمده از شبیه‌سازی روش بالا، می‌توان نتیجه گرفت که روش پیشنهادی از عملکرد مناسب و بهتری برخوردار است.

می‌توان خاطر نشان نمود که در روش پیشنهادی اگر ما برای نهان‌نگاری از ماتریس کنترل مشابهی یا تصویر پوشانه‌ای استفاده نماییم که تعداد ستون‌های ماتریس و ستون‌های تصویر پوشانه مضربی از یکدیگر باشند. یا به عبارت دیگر، اگر ابعاد تصویر پوشانه را طوری تغییر دهیم که ستون‌های تصویر مضربی از تعداد ستون‌های ماتریس کنترل مشابهت توافقی باشد؛ در این حالت، حداکثر مقدار شفافیت برای تصویر نهانه قابل تصور می‌باشد.

۳-۱-۲- شبیه‌سازی و ارزیابی روش پیشنهادی و سایر

روش‌های حوزه مکان

حال همان بانک تصاویر را با فرمت bmp و اندازه و ابعاد (۵۱۲×۵۱۲) یکسان، برای روش پیشنهادی و سایر روش‌های حوزه مکان با ظرفیت یکسان شبیه‌سازی نموده و نتایج آن را تحت جدول (۷) ارائه می‌نماییم. شکل (۱۳)، مقایسه بین نمودار هیستوگرام‌های روش‌های مختلف برای یک تصویر تصادفی می‌باشد که با مقایسه آن‌ها متوجه می‌شویم که هیستوگرام روش پیشنهادی بیش‌ترین شباهت را به هیستوگرام تصویر اصلی دارد. در همین خصوص و با توجه به جدول مذکور و مقایسه نتایج حاصل از آن، به راحتی می‌توان نتیجه گرفت که مبتنی بر ظرفیت برابر، روش پیشنهادی از لحاظ دو معیار SSIM و PSNR عملکرد بهتری دارد.



شکل (۱۳): مقایسه هیستوگرام روش‌های مختلف

از نظر امنیت، روش پیشنهادی و سایر روش‌های موجود نسبت به نرم‌افزار نهان‌کاو، تقریباً عملکرد یکسانی داشته با این تفاوت که فرایند جاسازی در روش پیشنهادی به ازای تمام پیکسل‌های پوشانه بوده است. بر همین اساس و به منظور افزایش امنیت و بهبود روش ترکیبی پیشنهادی، سراغ اجرا بر روی نقاط لبه‌ای کنی می‌رویم.

۳-۱-۱- شبیه‌سازی روش پیشنهادی و ارزیابی آن با

سایر روش‌ها

در این‌جا شبیه‌سازی با استفاده از نرم‌افزار (MATLAB (2013.b) انجام می‌گیرد؛ بنابراین T در اجرای شبیه‌سازی به راحتی می‌توان فرمت‌های مختلفی از تصاویر را با اندازه‌های مختلف در نظر گرفت.

۳-۱-۱- شبیه‌سازی و مقایسه روش ترکیبی پیشنهادی و

روش LSB با ظرفیت یکسان

در همین راستا، ابتدا به بررسی و اجرای روش نهان‌نگاری بهبود یافته پیشنهادی بر روی ۳۰ تصویر پوشانه با فرمت bmp با ابعاد (۵۱۲×۵۱۲) با اندازه‌های مختلف و بر اساس همان ماتریس کنترل مشابهت مثال‌های فوق (7*H3) و ظرفیت نهان‌نگاری ۰/۴۳ می‌پردازیم. نتایج حاصل را با خروجی شبیه‌سازی روش LSB با ظرفیت ۰/۴۰ را برای همان تصاویر پوشانه، مورد ارزیابی قرار می‌دهیم.

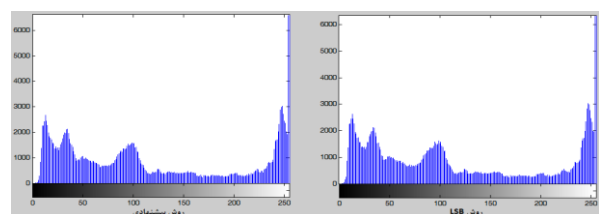
دقت داشته باشید که منظور از روش پیشنهادی استفاده از ۷ بیت LSB، پیکسل متوالی می‌باشد و به عبارت دیگر، اجرای روش در کل تصاویر و به ازای تمام پیکسل‌ها می‌باشد.

در ادامه اگر میانگین را برای هر دو روش شبیه‌سازی شده (روش پیشنهادی و روش LSB) محاسبه نماییم، نتایج جدول (۶) به دست خواهد آمد.

جدول (۶): میانگین اجرای روش پیشنهادی و LSB بر روی ۳۰ تصویر

معیار	ظرفیت	PSNR	SSIM	امنیت
روش پیشنهادی	۰/۴۳	۵۷/۱۵۷	۰/۹۹۹۷	خوب
روش LSB	۰/۴۰	۵۵/۱۱	۰/۹۹۹۵	خوب

اگر برای یک تصویر مشخص از بانک تصاویر، در هر دو روش نمودار هیستوگرام را ترسیم نماییم، شکل (۱۲) به دست می‌آید که به کمک جعبه‌ابزار پردازش تصویر نرم‌افزار MATLAB، خواهیم دانست که هیستوگرام روش پیشنهادی بیش‌ترین تشابه را به نمودار تصویر اولیه دارد.



شکل (۱۲): هیستوگرام روش پیشنهادی و LSB برای یک تصویر

جدول (۷): نتیجه نهان‌نگاری بر روی ۳۰ تصویر bmp در روش‌های مختلف حوزه مکان

تصاویر	روش پیشنهادی		EMD		LHA		LSB		LSBM		LSBMR	
	SSIM	PSNR	SSIM	PSNR	SSIM	PSNR	SSIM	PSNR	SSIM	PSNR	SSIM	PSNR
۱	۰/۹۹۹۳	۵۶/۹۹۳	۰/۹۹۹۸	۵۶/۲۹	۰/۹۹۹۳	۵۴/۱۵	۰/۹۹۹۲	۵۴/۱۵	۰/۹۹۹۲	۵۴/۱۵	۰/۹۹۹۱	۵۲/۷۲
۲	۰/۹۹۹۳	۵۷/۱۵۶	۰/۹۹۹۲	۵۶/۳۰	۰/۹۹۸۷	۵۴/۱۷	۰/۹۹۸۶	۵۴/۱۳	۰/۹۹۸۷	۵۴/۱۴	۰/۹۹۹۹	۵۵/۴۰
۳	۰/۹۹۹۷	۵۷/۱۲۱	۰/۹۹۹۷	۵۶/۲۹	۰/۹۹۹۶	۵۴/۱۵	۰/۹۹۹۵	۵۴/۱۴	۰/۹۹۹۵	۵۴/۱۵	۰/۹۹۹۴	۵۴/۳۲
۴	۰/۹۹۹۸	۵۷/۱۵۸	۰/۹۹۹۷	۵۶/۲۸	۰/۹۹۹۶	۵۴/۱۳	۰/۹۹۹۵	۵۴/۱۵	۰/۹۹۹۵	۵۴/۱۵	۰/۹۹۹۶	۵۴/۳۱
۵	۰/۹۹۹۷	۵۷/۱۶۹	۰/۹۹۹۷	۵۶/۲۹	۰/۹۹۹۴	۵۴/۱۶	۰/۹۹۹۴	۵۴/۱۶	۰/۹۹۹۴	۵۴/۱۶	۰/۹۹۹۶	۵۵/۴۰
۶	۰/۹۹۹۸	۵۷/۱۶۸	۰/۹۹۹۷	۵۶/۲۸	۰/۹۹۹۶	۵۴/۱۴	۰/۹۹۹۵	۵۴/۱۳	۰/۹۹۹۵	۵۴/۱۴	۰/۹۹۹۷	۵۵/۳۹
۷	۰/۹۹۹۷	۵۷/۱۷۰	۰/۹۹۹۶	۵۶/۲۹	۰/۹۹۹۴	۵۴/۱۳	۰/۹۹۹۳	۵۴/۱۵	۰/۹۹۹۳	۵۴/۱۵	۰/۹۹۹۵	۵۵/۳۱
۸	۰/۹۹۹۸	۵۷/۱۷۰	۰/۹۹۹۸	۵۶/۲۷	۰/۹۹۹۷	۵۴/۱۵	۰/۹۹۹۶	۵۴/۱۴	۰/۹۹۹۶	۵۴/۱۵	۰/۹۹۹۷	۵۵/۳۹
۹	۰/۹۹۹۹	۵۷/۱۶۸	۰/۹۹۹۸	۵۶/۲۹	۰/۹۹۹۸	۵۴/۱۴	۰/۹۹۹۷	۵۴/۱۴	۰/۹۹۹۸	۵۴/۱۵	۰/۹۹۹۸	۵۵/۳۹
۱۰	۰/۹۹۹۸	۵۷/۱۷۳	۰/۹۹۹۷	۵۶/۲۹	۰/۹۹۹۶	۵۴/۱۵	۰/۹۹۹۶	۵۴/۱۶	۰/۹۹۹۶	۵۴/۱۵	۰/۹۹۹۷	۵۵/۳۹
۱۱	۰/۹۹۹۸	۵۷/۱۵۸	۰/۹۹۹۷	۵۶/۲۸	۰/۹۹۹۶	۵۴/۱۴	۰/۹۹۹۵	۵۴/۱۵	۰/۹۹۹۵	۵۴/۱۵	۰/۹۹۹۶	۵۵/۳۱
۱۲	۰/۹۹۹۷	۵۷/۱۶۵	۰/۹۹۹۷	۵۶/۲۹	۰/۹۹۹۵	۵۴/۱۲	۰/۹۹۹۴	۵۴/۱۴	۰/۹۹۹۴	۵۴/۱۶	۰/۹۹۹۶	۵۵/۳۹
۱۳	۰/۹۹۹۸	۵۷/۱۷۰	۰/۹۹۹۸	۵۶/۲۷	۰/۹۹۹۷	۵۴/۱۶	۰/۹۹۹۷	۵۴/۱۳	۰/۹۹۹۷	۵۴/۱۵	۰/۹۹۹۷	۵۵/۲۶
۱۴	۰/۹۹۹۶	۵۷/۱۶۵	۰/۹۹۹۵	۵۶/۳۰	۰/۹۹۹۱	۵۴/۱۴	۰/۹۹۹۱	۵۴/۱۶	۰/۹۹۹۱	۵۴/۱۵	۰/۹۹۹۳	۵۵/۳۹
۱۵	۰/۹۹۹۷	۵۷/۱۷۵	۰/۹۹۹۶	۵۶/۲۹	۰/۹۹۹۴	۵۴/۱۳	۰/۹۹۹۴	۵۴/۱۶	۰/۹۹۹۴	۵۴/۱۴	۰/۹۹۹۵	۵۵/۴۰
۱۶	۰/۹۹۹۵	۵۷/۱۷۱	۰/۹۹۹۴	۵۶/۲۹	۰/۹۹۹۰	۵۴/۱۴	۰/۹۹۹۰	۵۴/۱۳	۰/۹۹۹۰	۵۴/۱۵	۰/۹۹۹۲	۵۵/۴۰
۱۷	۰/۹۹۹۵	۵۷/۰۸۵	۰/۹۹۹۷	۵۶/۲۸	۰/۹۹۹۴	۵۴/۱۶	۰/۹۹۹۴	۵۴/۱۴	۰/۹۹۹۳	۵۴/۱۵	۰/۹۹۸۹	۵۵/۸۲
۱۸	۰/۹۹۹۶	۵۷/۱۷۰	۰/۹۹۹۶	۵۶/۲۸	۰/۹۹۹۳	۵۴/۱۶	۰/۹۹۹۳	۵۴/۱۵	۰/۹۹۹۳	۵۴/۱۲	۰/۹۹۹۳	۵۵/۳۹
۱۹	۰/۹۹۹۸	۵۷/۱۶۷	۰/۹۹۹۸	۵۶/۲۹	۰/۹۹۹۶	۵۴/۱۶	۰/۹۹۹۶	۵۴/۱۴	۰/۹۹۹۶	۵۴/۱۵	۰/۹۹۹۷	۵۵/۴۰
۲۰	۰/۹۹۹۸	۵۷/۱۶۰	۰/۹۹۹۸	۵۶/۲۹	۰/۹۹۹۶	۵۴/۱۶	۰/۹۹۹۶	۵۴/۱۵	۰/۹۹۹۶	۵۴/۱۶	۰/۹۹۹۷	۵۵/۳۸
۲۱	۰/۹۹۹۶	۵۷/۱۶۹	۰/۹۹۹۵	۵۶/۲۹	۰/۹۹۹۳	۵۴/۱۵	۰/۹۹۹۲	۵۴/۱۶	۰/۹۹۹۲	۵۴/۱۶	۰/۹۹۹۴	۵۵/۳۹
۲۲	۰/۹۹۹۸	۵۷/۱۵۶	۰/۹۹۹۷	۵۶/۲۹	۰/۹۹۹۶	۵۴/۱۲	۰/۹۹۹۶	۵۴/۱۳	۰/۹۹۹۵	۵۴/۱۸	۰/۹۹۹۷	۵۵/۴۱
۲۳	۰/۹۹۹۵	۵۷/۱۷۵	۰/۹۹۹۴	۵۶/۲۸	۰/۹۹۹۰	۵۴/۱۵	۰/۹۹۹۰	۵۴/۱۵	۰/۹۹۸۹	۵۴/۱۷	۰/۹۹۹۲	۵۵/۳۸
۲۴	۰/۹۹۹۵	۵۷/۱۷۵	۰/۹۹۹۵	۵۶/۲۹	۰/۹۹۹۲	۵۴/۱۴	۰/۹۹۹۲	۵۴/۱۵	۰/۹۹۹۱	۵۴/۱۴	۰/۹۹۹۳	۵۵/۴۰
۲۵	۰/۹۹۹۶	۵۷/۱۶۸	۰/۹۹۹۶	۵۶/۲۹	۰/۹۹۹۴	۵۴/۱۶	۰/۹۹۹۴	۵۴/۱۴	۰/۹۹۹۳	۵۴/۱۵	۰/۹۹۹۵	۵۵/۲۴
۲۶	۰/۹۹۹۹	۵۷/۱۶۳	۰/۹۹۹۹	۵۶/۲۸	۰/۹۹۹۹	۵۴/۱۷	۰/۹۹۹۹	۵۴/۱۲	۰/۹۹۹۹	۵۴/۱۴	۰/۹۹۹۹	۵۵/۳۶
۲۷	۰/۹۹۹۸	۵۷/۱۷۵	۰/۹۹۹۸	۵۶/۲۸	۰/۹۹۹۷	۵۴/۱۶	۰/۹۹۹۷	۵۴/۱۴	۰/۹۹۹۷	۵۴/۱۵	۰/۹۹۹۸	۵۵/۴۱
۲۸	۰/۹۹۹۶	۵۷/۱۵۰	۰/۹۹۹۶	۵۶/۲۹	۰/۹۹۹۴	۵۴/۱۶	۰/۹۹۹۴	۵۴/۱۳	۰/۹۹۹۳	۵۴/۱۴	۰/۹۹۹۳	۵۴/۸۶
۲۹	۰/۹۹۹۹	۵۷/۱۸۲	۰/۹۹۹۹	۵۶/۲۹	۰/۹۹۹۸	۵۴/۱۵	۰/۹۹۹۸	۵۴/۱۵	۰/۹۹۹۸	۵۴/۱۴	۰/۹۹۹۸	۵۵/۳۴
۳۰	۰/۹۹۹۸	۵۷/۱۵۸	۰/۹۹۹۷	۵۶/۲۷	۰/۹۹۹۶	۵۴/۱۴	۰/۹۹۹۶	۵۴/۱۴	۰/۹۹۹۵	۵۴/۱۴	۰/۹۹۹۷	۵۵/۴۰
میانگین	۰/۹۹۹۷	۵۷/۱۵۷	۰/۹۹۹۶	۵۶/۲۹	۰/۹۹۹۵	۵۴/۱۵	۰/۹۹۹۴	۵۴/۱۴	۰/۹۹۹۴	۵۴/۱۵	۰/۹۹۹۴	۵۵/۲۴

نهان‌کاوی در این روش بین ۰٪ الی ۶٪ می‌باشد. در ادامه، اگر روش LSB هم را برای نقاط لبه‌ای بانک تصاویر با همان ظرفیت روش بهبودیافته پیشنهادی اجرا نماییم، نتیجه جدول (۹) خواهد بود. نتیجه ارزیابی و مقایسه دو روش در نقاط لبه‌ای، در جدول (۱۰) آمده است.

۳-۱-۳- شبیه‌سازی روش پیشنهادی بر روی نقاط لبه‌ای و ارزیابی آن با سایر روش‌ها
حال با توجه به مطالب گفته‌شده و با اجرای روش پیشنهادی بر روی نقاط لبه‌ای در همان بانک تصاویر موجود، نتایج جدول (۸) به‌دست خواهد آمد. خاطرنشان می‌کنیم که موفقیت نرم‌افزارهای

پیشنهاد شده از کارایی و امنیت بالایی برخوردار می‌باشد.

۳-۲- مزایای روش پیشنهادی

لازم است در روش ترکیبی پیشنهادی به موارد ذیل تحت عنوان مزایای روش ترکیبی پیشنهادی توجه داشته باشیم:

- همان طوری که در مثال‌های بخش دوم و سوم مشاهده نمودیم، این روش مختص کدهای خطی نمی‌باشد و می‌تواند براساس سایر کدها نیز پیاده گردد.
- میزان پیام قابل جاسازی در رشته بیت پوشانه با تعداد سطرهای ماتریس کنترل مشابهت توافقی، متناسب می‌باشد.
- طول رشته بیت استخراجی از پوشانه، برای اجرای هر نهم‌نگاری متناسب با تعداد ستون‌های ماتریس کنترل مشابهت توافقی می‌باشد.
- دقت داشته باشید که ظرفیت و مقاومت سیستم نهم‌نگاری می‌تواند به صورت دو کفه ترازو عمل نماید. به طوری که در روش بهبود یافته پیشنهادی، می‌توان به جای ۷ بیت کم‌ارزش، ۷ پیکسل متوالی؛ از تعداد کم‌تری استفاده نموده و مقاومت را بالا برد. به عنوان مثال، برای جاسازی رشته بیت استخراجی ۷ بیتی، می‌توان از ۳ بیت کم‌ارزش یک پیکسل و ۴ بیت کم‌ارزش پیکسل بعدی استفاده نمود و اطلاعات را جاسازی نمود به نحوی که فقط یک بیت از ۷ بیت رشته استخراجی تغییر می‌کند.
- با وجود کاهش نسبی ظرفیت نسبت به روش جاسازی ماتریس، روش پیشنهادی از ظرفیت مطلوبی نسبت به برخی از روش‌های نهم‌نگاری برخوردار است.
- این روند جاسازی پیام از مقاومت بالایی مقابل نهم‌کاوها برخوردار است.
- طبق نتایج ارائه شده، روش پیشنهادی بیش‌ترین PSNR و SSIM ممکن را برای یک سیستم نهم‌نگاری را دارد.
- برای عملکرد حداکثری سیستم، می‌توان از طرح کدهایی با ظرفیت بالا و کم‌ترین خرابی استفاده نماییم.
- از همان کد مشترک می‌توان به عنوان افزونگی و تشخیص و تصحیح خطا استفاده نمود.

۳-۳- معایب روش پیشنهادی

- نوع کد و ماتریس کنترل مشابهت آن، باید بین فرستنده و گیرنده به اشتراک گذاشته شود. [۲۶]
- در صورت استفاده از کدهای تصادفی، به دست آوردن مشخصه‌ها و یا سردسته‌ها در حالت کلی است [۲۶].

۴- نتیجه‌گیری

یکی از معیارهای جذابیت روش‌های نهم‌نگاری بستگی به میزان تحمل‌پذیری آن‌ها در برابر اغتشاش‌هایی دارد که در هر یک از

جدول (۸): اجرای روش پیشنهادی بر روی نقاط لبه‌ای

تصاویر	PSNR	SSIM	تصاویر	PSNR	SSIM
۱	۷۱/۰۳	۱/۰۰۰	۱۶	۷۷/۴۶	۱/۰۰۰
۲	۸۱/۲۱	۱/۰۰۰	۱۷	۷۰/۱۸	۱/۰۰۰
۳	۷۱/۱۷	۱/۰۰۰	۱۸	۷۳/۷۸	۱/۰۰۰
۴	۷۱/۴۵	۱/۰۰۰	۱۹	۶۹/۲۲	۱/۰۰۰
۵	۷۴/۲۲	۱/۰۰۰	۲۰	۷۸/۹۹	۱/۰۰۰
۶	۶۸/۲۱	۱/۰۰۰	۲۱	۶۸/۵۸	۱/۰۰۰
۷	۷۱/۱۳	۱/۰۰۰	۲۲	۶۹/۱۱	۱/۰۰۰
۸	۷۰/۷۵	۱/۰۰۰	۲۳	۶۸/۴۵	۱/۰۰۰
۹	۶۹/۶۹	۱/۰۰۰	۲۴	۷۳/۰۶	۱/۰۰۰
۱۰	۶۹/۳۴	۱/۰۰۰	۲۵	۷۰/۳۸	۱/۰۰۰
۱۱	۷۰/۵۴	۱/۰۰۰	۲۶	۷۰/۷۳	۱/۰۰۰
۱۲	۷۳/۵۷	۱/۰۰۰	۲۷	۶۹/۴۱	۱/۰۰۰
۱۳	۶۹/۴۰	۱/۰۰۰	۲۸	۷۳/۰۶	۱/۰۰۰
۱۴	۷۴/۷۸	۱/۰۰۰	۲۹	۶۷/۷۲	۱/۰۰۰
۱۵	۷۶/۹۷	۱/۰۰۰	۳۰	۷۳/۳۴	۱/۰۰۰

جدول (۹): اجرای روش LSB بر روی نقاط لبه‌ای

تصاویر	PSNR	SSIM	تصاویر	PSNR	SSIM
۱	۶۵/۰۰	۱/۰۰۰	۱۶	۷۱/۴۸	۱/۰۰۰
۲	۷۵/۲۸	۱/۰۰۰	۱۷	۶۴/۱۰	۱/۰۰۰
۳	۶۶/۱۰	۱/۰۰۰	۱۸	۶۷/۶۷	۱/۰۰۰
۴	۶۵/۴۰	۱/۰۰۰	۱۹	۶۳/۱۲	۱/۰۰۰
۵	۶۸/۲۵	۱/۰۰۰	۲۰	۷۱/۹۲	۱/۰۰۰
۶	۶۲/۲۳	۱/۰۰۰	۲۱	۶۲/۵۳	۱/۰۰۰
۷	۶۵/۰۱	۱/۰۰۰	۲۲	۶۳/۱۱	۱/۰۰۰
۸	۶۴/۶۷	۱/۰۰۰	۲۳	۶۲/۴۵	۱/۰۰۰
۹	۶۳/۶۲	۱/۰۰۰	۲۴	۶۷/۱۴	۱/۰۰۰
۱۰	۶۳/۳۸	۱/۰۰۰	۲۵	۶۴/۴۲	۱/۰۰۰
۱۱	۶۴/۵۸	۱/۰۰۰	۲۶	۶۴/۸۱	۱/۰۰۰
۱۲	۶۷/۴۳	۱/۰۰۰	۲۷	۶۳/۴۰	۱/۰۰۰
۱۳	۶۳/۴۵	۱/۰۰۰	۲۸	۶۷/۱۷	۱/۰۰۰
۱۴	۶۸/۴۰	۱/۰۰۰	۲۹	۶۶/۶۸	۱/۰۰۰
۱۵	۷۱/۱۵	۱/۰۰۰	۳۰	۶۶/۳۰	۱/۰۰۰

جدول (۱۰): ارزیابی روش پیشنهادی و روش LSB بر روی نقاط لبه‌ای

معیار	امنیت	PSNR	SSIM	تشابه هیستوگرام
روش بهبود یافته	۹۴٪ - ۱۰۰٪	۷۱/۸۶	۱/۰۰۰	۴۸٪
روش LSB	۸۵٪ - ۹۵٪	۶۵/۸۷	۱/۰۰۰	۳۲٪

با ارزیابی نتایج موجود در می‌یابیم که روش ترکیبی

- [12] N. Provos and P. Honeyman, "Hide and seek: An introduction to steganography," *Secur Privacy, IEEE Trans*, vol. 1, no. 3, pp. 32–44, 2003.
- [13] A. Westfeld, "F5 a steganographic algorithm," in *Information hiding*, pp. 289–302, 2001.
- [14] M. John Cioffi, "Digital Communication II: Coding," *Spring Quarter*, 2005-2006.
- [15] M. khatirinejad, "Linear codes for high payload steganography," *IEEE Trans., Elsevier*, 2009.
- [16] M. Carlos, "Hamming codes for wet paper steganography," *Springer Science Business, Media New York*, 2015.
- [17] J. Fridrich, "Steganography in Digital Media," *IEEE Trans, Binghamton University, State University of New York*, 2008.
- [18] M. Morad, "Polar codes for secret sharing," *Department of Mathematics Amirkabir University of Technolog, IEEE Trans, arXiv: 1705.03042 v1 [cs.CR]*, May 2017.
- [19] J. Fridrich, "Efficient Wet Paper Codes," *IEEE Trans, Binghamton University, State University of New York (SUNY)*, 2014.
- [20] W. Zhang, "Maximizing Steganographic Embedding Efficiency by Combining Hamming Codes and Wet Paper Codes," *IEEE Trans, Zhengzhou 450002, China*, 2009.
- [21] J. urgen Bierbrauer and J. Fridrich, "Constructing good covering codes for applications in Steganography," *IEEE Trans, Binghamton University, State University of New York, (NY) 13902-6000*, 2015.
- [22] R. Z. Wang, C. F. Lin, and J. C. Lin, "Image hiding by optimal LSB substitution and genetic algorithm," *Pattern Recognit*, vol. 34, no. 3, pp. 671–683, 2001.
- [23] A. D. Ker, "Improved detection of LSB steganography in grayscale images," in *Information Hiding*, pp. 97–115, 2004.
- [24] J. Fridrich, P. Lisoněk, and D. Soukal, "On steganographic embedding efficiency," in *Computer Science, Alexandria, VA*, pp. 282–296, July 2006.
- [25] M. Zolanvar, H. Ghanei Yakhdan, and A. M. Latif, "A New Method in Color Images Watermarking based on YPbPr Color Space in FWHT Domain," *Journal Of Electronical & Cyber Defence*, vol. 4, no. 4, Serial No. 16, 2017. (in Persian)
- [26] A. Nourazar, "Images Steganography Based On Linear Codes and Provide an Method Optimal," *thesis Master of Science in Telecommunication Engineering Cipher and Security, Imam Hussein Comprehensive University, 2016*. (in Persian)

گام‌های فرآیند نهان‌نگاری امکان رخداد داشته و می‌توانند تأثیرات مخربی را بر داده نهان‌نگاری شده اعمال نمایند. پیشنهاد این مقاله استفاده از ویژگی‌های کدها، به‌منظور نهان‌نگاری امن موردنیاز برای جاسازی نهان‌نگاری است. در راستای دست‌یابی به این هدف و ظرفیت حداکثری می‌توان از ماتریس کنترل مشابهتی با ابعاد متناسب استفاده نمود و یا ابعاد تصویر را با ابعاد ماتریس متناسب نمود.

براساس نتایج حاصل از آزمون‌های انجام‌شده در مرحله پیاده‌سازی، روش پیشنهادی بهبودیافته، علاوه بر ظرفیت و مقاومت بالا از دقت قابل قبولی در مواجهه با حملات هندسی به ویژه عملیات فشرده‌سازی برخوردار است و از آن مهم‌تر می‌توان از تشخیص خطای احتمالی در رشته بیت دریافتی توسط گیرنده مجاز، در فرآیند خود بهره برد.

۵- مراجع

- [1] A. D. Ker, P. Bas, R. Böhme, R. Cogranne, S. Craver, T. Filler, J. Fridrich, and T. Pevný, "Moving Steganography and Steganalysis from laboratory to Real World," In *Proceedings of the ACM IH&MMSec'13, ACM*, pp. ACM 978-1-4503-2081-8/13/06, Montpellier, France, June 2013.
- [2] A. Bhattacharya, I. Banerjee, and G. Sanyal, "A survey of steganography and steganalysis techniques in image, text, audio and video cover carrier," *Journal of Global Research in Computer Science*, vol. 2, no. 4, pp. 1-16, 2011.
- [3] I. J. Cox, M. Miller, J. Bloom, J. Fridrich, and T. Kalker, "Digital Watermarking and Steganography," *Morgan Kaufmann Publishers, San Francisco, Calif, USA*, 2nd revised dition, 2007.
- [4] A. Cheddad, J. Condell, K. Curran, and P. Mckevitt, "Digital image steganography: Survey and analysis of current methods," *Signal Processing*, vol. 90, no. 3, pp. 727-752, March 2010.
- [5] A. Westfeld and A. Pfitzmann, "Attacks on steganographic systems," in *Lecture Notes in Computer Science*, 1768, Springer-Verlag, Berlin, pp. 61-75, 2000.
- [6] L. J. Wang, "A steganographic method based upon JPEG and particle swarm optimization algorithm," *Information Sciences*, vol. 177, no. 15, pp. 3099-31091, 2007.
- [7] A. Westfeld, "Detecting low embedding rates," in *5th International Workshop on Information Hiding, Noordwijk erhout, The Netherlands*, 2002.
- [8] K. Chin Chang, C. Ping Huang, S. Ping, and T. Te-Ming, "A novel image steganographic method using triway pixel-value differencing," *Journal of Multimedia*, vol. 3, no. 2, pp. 37-44, June 2008.
- [9] H. Malekmohammadi and S. Ghaemmaghami, "Steganalysis of LSB Based Image Steganography Using Spatial And Frequency Domain Feature," *IEEE Trans.*, 2009.
- [10] H. Sajedi and M. Jamzad, "Selecting Steganography Method," *IEEE*, 2010.
- [11] G. Cancelli and M. Barni, "MPSteg-color: data hiding through redundant basis decomposition," *Inf Forensics Secur, IEEE Trans*, vol. 4, no. 3, pp. 346–358, 2009.

An Optimal Method for Images Steganography Based on Linear Codes Features

A. Nourazar, Z. Noroozi*, M. Mir

*Imam Hossein University

(Received: 07/02/2017, Accepted: 23/07/2017)

ABSTRACT

Steganography is an information hiding application which aims to hide secret messages imperceptibly into commonly used media. In this paper, we describe an Optimal embedding method based on linear codes that conforms to least significant bit, that is, the secret data is embedded into a cover message by parity check matrix. The new method not only benefits from the field of location and detection and error correction bit stream received by the receiver, but also can increase the Resistance between 94% to 100%, the transparency (PSNR) up to 84/71, and the similarity (SSIM) up to % 9999/99.

Keywords: Steganography, Image Cover, Linear Code, Parity Check Matrix.

* Corresponding Author Email: znorozi@ihu.ac.ir